

## ОТРИЦАТЕЛЬНАЯ РЕФРАКТЕРНОСТЬ В ВОЗБУДИМЫХ СИСТЕМАХ С КРОССДИФФУЗИЕЙ

© 2009 г. М.А. Цыганов\*, В.Н. Бикташев\*\*, Г.Р. Иваницкий\*

\*Институт теоретической и экспериментальной биофизики РАН, 142290, Пущино, Московской области;

\*\*Department of Mathematical Sciences, University of Liverpool, Liverpool L69 7ZL, UK

E-mail: tsyganov@iteb.ru

Поступила в редакцию 09.12.08 г.

В численных экспериментах на математической модели возбудимой среды с линейной кроссдиффузией показано, что рефрактерность в таких системах может быть отрицательной. Продемонстрировано, как отрицательная рефрактерность влияет на распространение и взаимодействие волн.

*Ключевые слова:* кроссдиффузия, рефрактерность, возбудимые среды, автоволны, самоорганизация.

Прогресс в понимании явлений самоорганизации в физических, химических и биологических системах в первую очередь связан с развитием теории автоволн, т.е. с исследованием закономерностей генерации, распространения и взаимодействия нелинейных волн в распределенных активных (возбудимых) средах с диффузией [1–3]. В таких средах возможно восстановление их свойств после прохождения волнового импульса. Промежуток времени, необходимый для достаточно полного восстановления среды, называется рефрактерным периодом [4]. Восстановление свойств среды происходит за счет поступающей извне энергии. До момента полного восстановления обычно наблюдается период относительной рефрактерности, который характеризуется пониженной возбудимостью среды. Автоволны в средах с восстановлением обычно представляют собой бегущие импульсы, имеющие конечную длительность и пространственную протяженность. Теоретические исследования автоволн и процессов самоорганизации в возбудимых системах проводились на математических моделях типа «реакция-диффузия»:

$$\vec{u}_t = \vec{f}(\vec{u}) + D\Delta\vec{u}, \quad (1)$$

где  $\vec{u}$  и  $\vec{f}$  – векторы,  $D$  – диагональная матрица,  $\Delta$  – лапласиан.

В последнее время широко исследуются возбудимые системы с кроссдиффузией, отличающиеся от модели (1) тем, что матрица  $D$  – не диагональная [5–16]. Кроссдиффузионными математическими моделями также описываются различные процессы структурной самооргани-

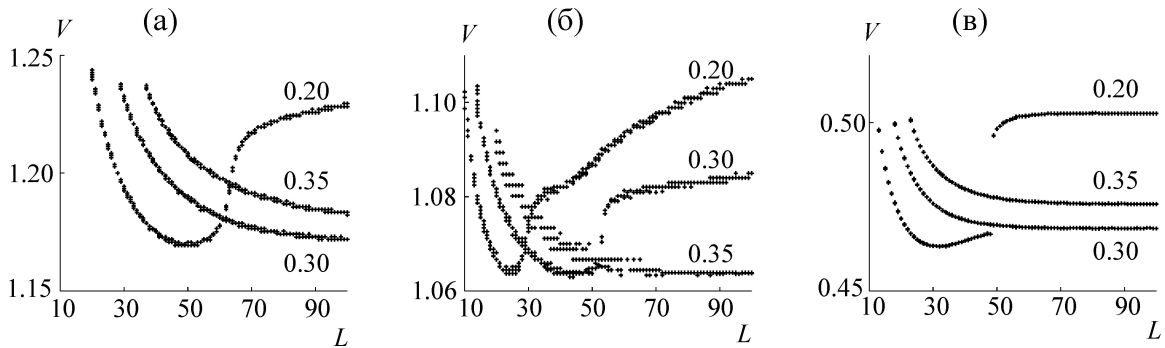
зации в физических, химических и биологических системах, например, рост и развитие опухолей [17] (более подробно см. обзоры [18, 19]). Общий вид таких систем для двух переменных в одномерном случае следующий [18]:

$$\begin{aligned} \frac{\partial u}{\partial t} &= f(u, v) + D_1 \frac{\partial^2 u}{\partial x^2} + h_1 \frac{\partial}{\partial x} \left( Q_1(u, v) \frac{\partial v}{\partial x} \right), \\ \frac{\partial v}{\partial t} &= g(u, v) + D_2 \frac{\partial^2 v}{\partial x^2} + h_2 \frac{\partial}{\partial x} \left( Q_2(u, v) \frac{\partial u}{\partial x} \right). \end{aligned} \quad (2)$$

При  $h_1 = h_2 = 0$  математическая модель (2) представляет собой систему типа «реакция-диффузия» с коэффициентами диффузии  $D_1 \geq 0$ ,  $D_2 \geq 0$  (по крайней мере, один из них не равен нулю). В случае, когда хотя бы один из коэффициентов  $h_i \neq 0$  (знак может быть любым), система (2) является кроссдиффузионной. Линейной кроссдиффузии соответствует  $Q_i(u, v) = \text{const}$  для  $i = 1, 2$ ; нелинейной кроссдиффузии –  $Q_i(u, v) \neq \text{const}$  хотя бы для одного  $i$ .

В работах [5–10] на математических моделях возбудимых систем с линейной и нелинейной кроссдиффузией были исследованы различные волновые явления, характерные для таких систем. На основании исследований математических моделей и экспериментов с бактериальными популяциями было предложено выделить волны в возбудимых кроссдиффузионных системах в особый класс нелинейных волн [6, 18].

Известно, что для возбудимых систем типа «реакция-диффузия» (1) в рефрактерном периоде распространение следующего импульса невозможно [4]. В работе [20] отмечалось, что



**Рис. 1.** Дисперсионные кривые для математической модели (3): (а) –  $D_u = 1, D_v = 1$ ; (б) –  $D_u = 1, D_v = 0,1$ ; (в) –  $D_u = 0,1, D_v = 1$ . Соответствующие значения параметра  $a$  указаны на графиках. Прерывания графиков соответствуют минимальным критическим длинам кольца, на котором возможно распространение волн.

для возбудимых систем с нелинейной кроссдиффузией рефрактерность может быть «отрицательной», в том смысле, что в относительно рефрактерном периоде возбудимость не понижена, как обычно, а повышена. В настоящей работе мы представляем исследование рефрактерности в возбудимых системах с линейной кроссдиффузией.

### МАТЕМАТИЧЕСКАЯ МОДЕЛЬ И ЧИСЛЕННЫЕ ЭКСПЕРИМЕНТЫ

Исследования выполнены на математической модели с нелинейностью типа Фитц-Хью–Нагумо [21,22], которая является простейшей и наиболее популярной моделью возбудимых сред, но вместо традиционного описания распространения компонент системы за счет диффузии включена линейная кроссдиффузия [10]:

$$\begin{aligned} \frac{\partial u}{\partial t} &= u(u-a)(1-u)-v+D_v \frac{\partial^2 v}{\partial x^2}, \\ \frac{\partial v}{\partial t} &= \epsilon(u-v)-D_u \frac{\partial^2 u}{\partial x^2}, \end{aligned} \quad (3)$$

где  $D_u \geq 0, D_v \geq 0, \epsilon \ll 1, a < 0,5$ .

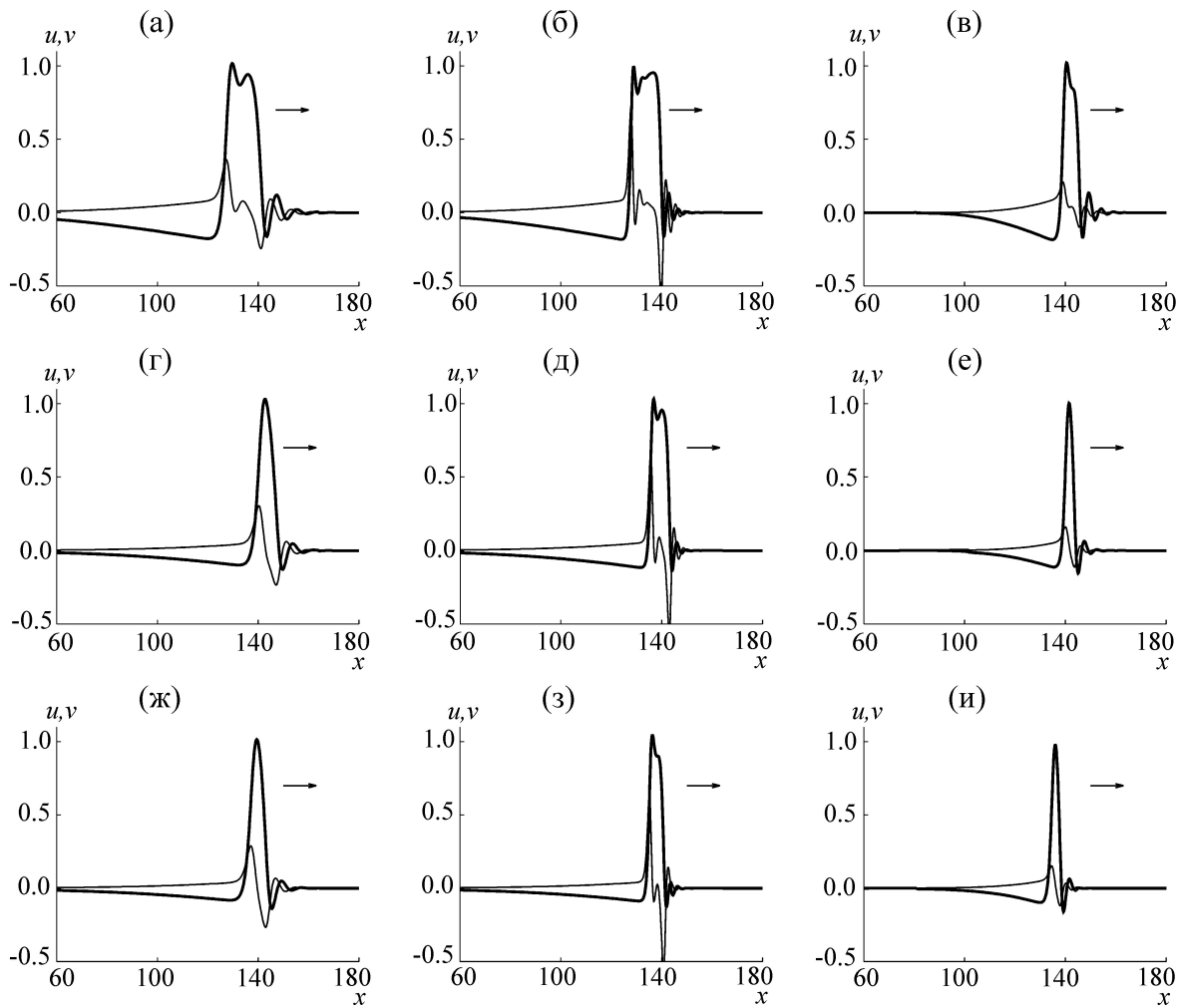
Численные эксперименты на математической модели (3) выполняли при значении  $\epsilon = 0,01$  для трех значений параметра  $a$ : 0,2; 0,3; 0,35; при трех различных комбинациях значений кроссдиффузионных коэффициентов  $D_u$  и  $D_v$ : ( $D_u = 1, D_v = 1$ ), ( $D_u = 1, D_v = 0,1$ ), ( $D_u = 0,1, D_v = 1$ ) в одномерной среде  $x \in [0, L]$  с непроницаемыми границами при  $t < t_0$  ( $t_0 = 50$  усл. ед. времени) и с периодическими границами при  $t > t_0$ . Вычисления проводили по неявной схеме с пространственным и временным шагами  $\delta x = 0,2, \delta t = 0,005$ . Чтобы инициировать волну с левого конца, были выбраны следующие на-

чальные значения:  $u(x, 0) = \theta(\delta - x), v(x, 0) = 0, \delta = 2$ .

Включение периодических граничных условий позволяет построить для математической модели (3) дисперсионные кривые, т.е. зависимости скорости распространения волны  $V(L)$  от длины кольца, по которому распространяется возбуждение. В наших экспериментах начальная длина кольца  $L = 200$ . Уменьшение длины кольца на  $\delta L = 1$  происходило с временным интервалом  $\delta t = 500$ , и затем после промежуточного интервала  $\delta t = 250$ , необходимого для выхода на установившийся режим, с шагом  $\delta t = 5$  определялась скорость распространения волны.

На рис. 1 представлены дисперсионные кривые для различных комбинаций параметров  $a, D_u$  и  $D_v$ . Начиная с некоторого значения  $L$ , скорость распространения волн в кроссдиффузионной системе (3) возрастает. В возбудимых системах типа «реакция-диффузия» скорость распространения волны всегда падает с уменьшением длины кольца, т.е. имеет место «положительная рефрактерность». Это происходит из-за торможения переднего фронта волны в результате ее набегания на свой же рефрактерный хвост [4]. У волн в кроссдиффузионной системе (3) возможно увеличение скорости распространения, т.е. «отрицательная рефрактерность». На рис. 1 это соответствует так называемой аномальной дисперсии, т.е. отрицательному наклону дисперсионных кривых.

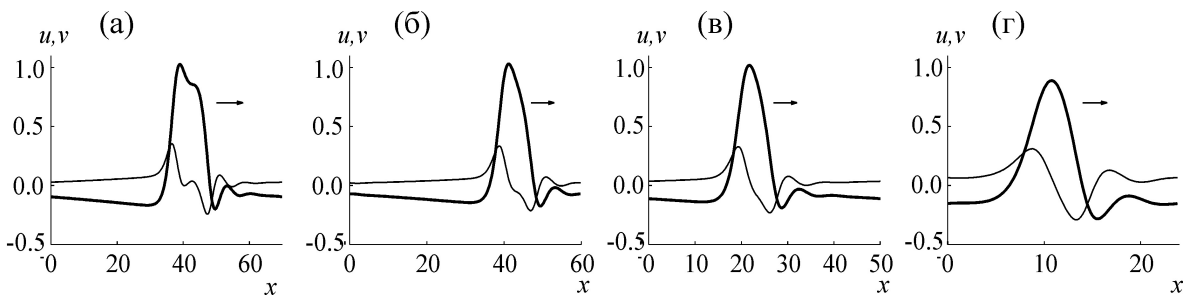
В работах [6–10] показано, что для кроссдиффузионных систем характерна связь скорости распространения и различных режимов взаимодействия с вариациями формы профиля волн. На рис. 2 представлены профили волн для модели (3), соответствующих параметрам, приведенным на рис. 1, для кольца длиной  $L = 200$ . Изменения профиля волны в процессе



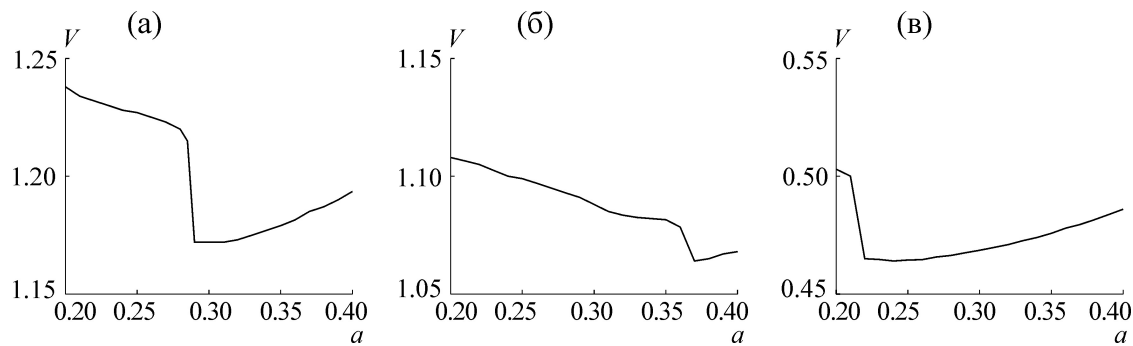
**Рис. 2.** Профили волн на кольце  $L = 200$  для модели (3): (а) –  $a = 0,2$ ,  $D_u = 1$ ,  $D_v = 1$ ; (б) –  $a = 0,3$ ,  $D_u = 1$ ,  $D_v = 1$ ; (в) –  $a = 0,35$ ,  $D_u = 1$ ,  $D_v = 1$ ; (г) –  $a = 0,2$ ,  $D_u = 1$ ,  $D_v = 0,1$ ; (д) –  $a = 0,3$ ,  $D_u = 1$ ,  $D_v = 0,1$ ; (е) –  $a = 0,35$ ,  $D_u = 1$ ,  $D_v = 0,1$ ; (ж) –  $a = 0,2$ ,  $D_u = 0,1$ ,  $D_v = 1$ ; (з) –  $a = 0,3$ ,  $D_u = 0,1$ ,  $D_v = 1$ ; (и) –  $a = 0,35$ ,  $D_u = 0,1$ ,  $D_v = 1$ . Жирная линия – переменная  $u$ , тонкая линия – переменная  $v$ . Стрелками указаны направления распространения волн.

уменьшения кольца представлены на рис. 3 для случая  $a = 0,2$ ,  $D_u = 1$ ,  $D_v = 1$ . Видно, что переход от «двугорбого» к одногорбому профилю коррелирует с областью резкого изменения скорости  $V$ . Резкое изменение скорости

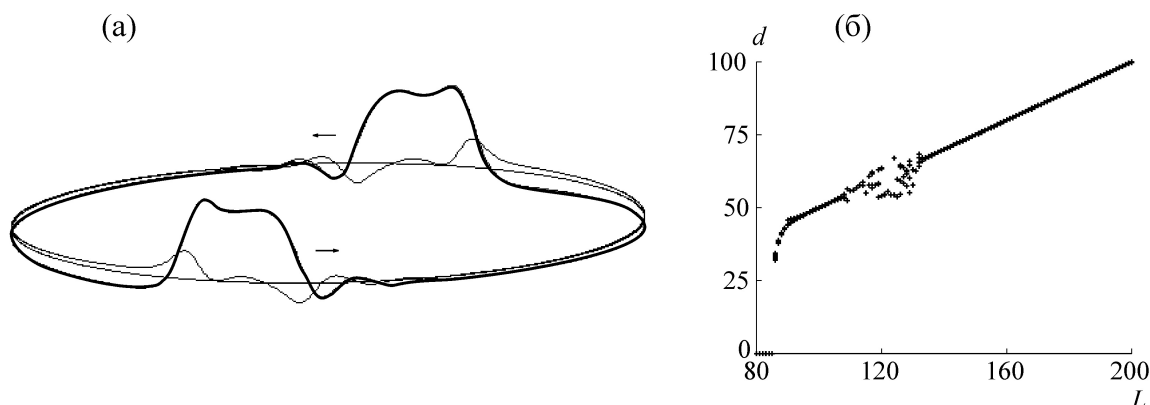
распространения волны наблюдается и в случае зависимости от порога возбуждения среды  $a$  на бесконечной среде (рис. 4). Подобная сингулярная зависимость наблюдалась в зависимости скорости распространения волны от одного



**Рис. 3.** Профили волн при различных длинах кольца: (а) –  $L = 70$ ; (б) –  $L = 60$ ; (в) –  $L = 50$ ; (г) –  $L = 24$ . Параметры модели (3):  $a = 0,2$ ,  $D_u = 1$ ,  $D_v = 1$ .



**Рис. 4.** Зависимости скорости распространения волн от порога возбуждения  $a$ : (а) –  $D_u = 1, D_v = 1$ ; (б) –  $D_u = 1, D_v = 0,1$ ; (в) –  $D_u = 0,1, D_v = 1$ .



**Рис. 5.** Две волны ( $a = 0,2, D_u = 1, D_v = 1$  модель (3)) на кольце: (а) –  $L = 200$ ; (б) – зависимость расстояния  $d$  между двумя волнами от длины кольца  $L$ .

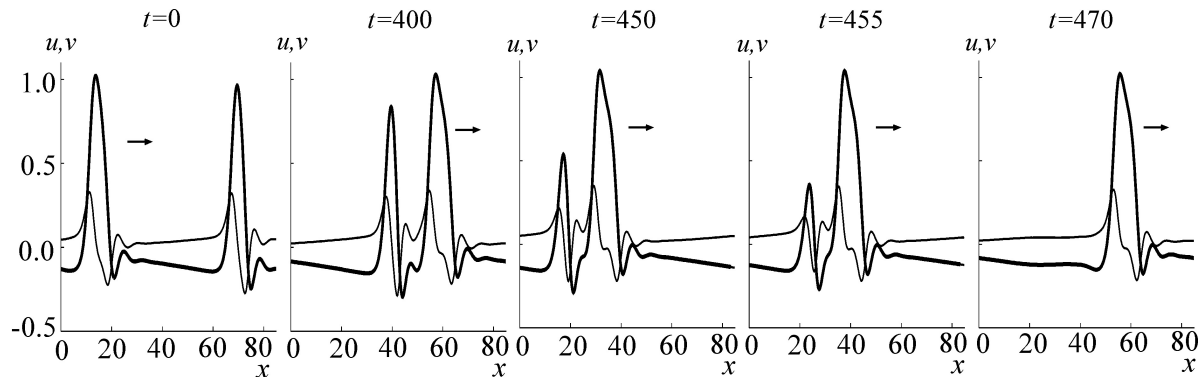
из кроссдиффузионных коэффициентов в системе с нелинейной кроссдиффузией [6].

Рассмотрим, как отрицательная рефрактерность влияет на распространение и взаимодействие двух волн на сжимающемся кольце. На рис. 5а приведены две волны на кольце длиной  $L = 200$ . Расстояние  $d$  между их передними фронтами (на уровне  $u = 0,4$ ) уменьшается при медленном сжатии кольца (рис. 5б). При длине кольца  $L = 110 \div 130$  происходит резкое изменение скорости распространения и перестройка профилей волн (см. рис. 1 и 3 для  $L = 50$  и 60). При длине кольца ниже критической ( $L = 85$ ) симметричное распространение волн становится неустойчивым. Динамика этого процесса представлена на рис. 6. Кратчайшее расстояние между волнами становится меньше половины длины кольца. При этом задняя волна попадает в область отрицательной рефрактерности на хвосте передней волны, в результате чего скорость задней волны возрастает и она нагоняет переднюю. В конце концов расстояние между волнами быстро уменьшается, задняя волна по-

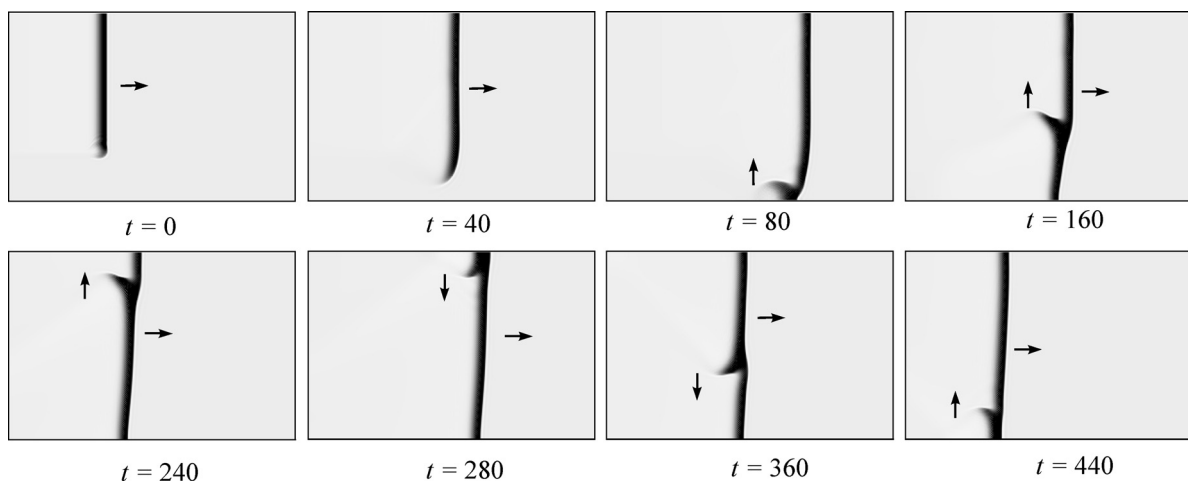
глощается передней и на кольце остается только одна волна.

Наличием отрицательной рефрактерности объясняется недавно описанное нами новое волновое явление – «бегущий хвост» («running tail») [20] – локальное устойчивое возмущение, стационарно движущееся в латеральном направлении вдоль заднего фронта волны (рис. 7).

В двумерной возбудимой среде размером  $L_x \times L_y$ , в которой распространяется плоская волна кроссдиффузионной системы, вырежем полосу  $0 \leq y \leq L_1$ , присвоив переменным в этой полосе соответствующие стационарные значения (рис. 7,  $t = 5$  – момент времени после среза). Рассматривается поведение волны в бесконечной среде вдоль оси  $x$ , что осуществляется сдвигом всей среды влево при подходе плоской волны к правой границе на фиксированное расстояние ( $L_s = 25$ ). В результате прорастания и взаимодействия свободного кончика волны с непроницаемой нижней границей ( $y = 0$ ) формируется волновой отросток/хвост (рис. 7,  $t = 40, 80$ ). Этот волновой хвост распространяется вдоль заднего фронта материнской плоской



**Рис. 6.** Динамика уменьшения расстояния между двумя волнами модели (3) при длине кольца ( $L = 85$ ) ниже критической. Параметры модели указаны на рис. 5. Момент времени, соответствующий первому кадру, условно принят за нулевой момент.



**Рис. 7.** Формирование «волнового отростка» и распространение «бегущего хвоста» вдоль плоской волны, отражение от непроницаемых границ. ( $150 \times 100$ ). Среда бесконечная вдоль оси  $x$ , стрелками указаны направления распространения плоской волны и «бегущего хвоста» [20].

волны, последовательно отражаясь от непроницаемых границ ( $y = L_y$ ,  $y = 0$ ) (рис. 7,  $t = 160, 240, 280, 360, 440$ ). Процесс распространения такого «бегущего хвоста» и его отражение от границ продолжается без затухания [20].

Волновой отросток может прикрепляться к заднему фронту материнской волны аналогично тому, как это происходит в одномерном случае, показанном на рис. 6 ( $t = 450, 455$ ). Но, в отличие от показанного на рис. 6 одномерного случая, в двумерной среде сформировавшийся «бегущий хвост» не гибнет полностью: помимо распространения вслед за материнской волной и слияния с ней происходит также распространение в перпендикулярном направлении, вдоль заднего фронта материнской волны. Аналогично, отрицательной рефрактерностью, приводящей к поглощению задней волны передней волной, можно также объяснить для кроссдиффузии

зационных систем явление перехода спиральной волны в концентрическую, когда кончик спирали прикрепляется к заднему фронту материнской волны [8].

## ЗАКЛЮЧЕНИЕ

Таким образом, мы показали, что в возбудимых системах с кроссдиффузией рефрактерность может быть отрицательной, т.е. имеет место эффект, противоположный тому, который наблюдается в стандартных автоволновых системах. Отрицательной рефрактерностью можно объяснить ряд волновых свойств, специфичных для возбудимых кроссдиффузационных систем. Механизм отрицательной рефрактерности пока неясен. Представляется правдоподобным, что это явление как-то связано с другими характерными для кроссдиффузационных систем осо-

бенностями, такими как нелинейные с сингулярностями зависимости скорости распространения волн от различных параметров, связь этой скорости с формой профиля волны, а также осциллирующий передний фронт.

Работа выполнена при финансовой поддержке Российского фонда фундаментальных исследований (грант № 07-04-00363).

### СПИСОК ЛИТЕРАТУРЫ

1. A. M. Zhabotinsky and A. N. Zaikin, *Nature* **223**, 535 (1970).
2. А. М. Жаботинский, *Концентрационные автоколебания* (Наука, М., 1974).
3. M. C. Cross and P. C. Hohenberg, *Rev. Modern Phys.* **65**, 851 (1993).
4. В. И. Кринский, *Проблемы кибернетики* **20**, 59 (1968).
5. M. A. Tsyganov, J. Brindley, A. V. Holden, and V. N. Biktshev, *Phys. Rev. Lett.* **91** (21), 218102 (2003).
6. M. A. Tsyganov, J. Brindley, A. V. Holden, and V. N. Biktshev, *Physica D* **197** (1-2), 18 (2004).
7. M. A. Tsyganov and V. N. Biktshev, *Phys. Rev. E* **70** (3), 031901 (2004).
8. V. N. Biktshev, J. Brindley, A. V. Holden, and M. A. Tsyganov, *Chaos* **14** (4), 988 (2004).
9. J. Brindley, V. N. Biktshev, and M. A. Tsyganov, *Biol. Invas.* **7** (5), 807 (2005).
10. V. N. Biktshev and M. A. Tsyganov, *Proc. Roy. Soc. Lond. A.* **461** (2004), 3711 (2005).
11. М. А. Цыганов и Г. Р. Иваницкий, *Биофизика* **51** (6), 1008 (2006).
12. M. Iida, M. Mimura, and H. Ninomiya, *J. Math. Biol.* **53**, 617 (2006).
13. Y. Tyutyunov, L. Titova, and R. Arditi, *Math. Model. Nat. Phenom.* **2** (4), 122 (2007).
14. J. M. Chung and E. Peacock-López, *Phys. Lett. A.* **377**, 41 (2007).
15. Е. П. Земсков и А. Ю. Лоскутов, *Журн. эксперим. и теорет. физики* **134** (2), 406 (2008).
16. F. Berezovskaya, A. Novozhilov, and G. Karev, *Non-linear Analysis: Real World Applications* **9** (5), 1866 (2008).
17. S. R. McDougall, A. R. A. Anderson, and M. A. J. Chaplain, *J. Theor. Biol.* **241**, 564 (2006).
18. М. А. Цыганов, В. Н. Бикташев, Дж. Бриндли и др., *Успехи физ. наук* **177** (3), 275 (2007).
19. V. K. Vanag and I. R. Epstein, *Phys. Chem. Chem. Phys.* **11**, 897 (2009).
20. M. A. Tsyganov, G. R. Ivanitsky, and V. N. Biktshev, *Chaos, Solitons & Fractals* **40** (5), 2271 (2009).
21. R. A. FitzHugh, *Biophys. J.* **1**, 445 (1961).
22. J. Nagumo, S. Arimoto, and S. Yoshizawa, *Proc. IEEE* **50**, 2061 (1962).

## Negative Refractoriness in Excitable Systems with Cross-diffusion

**M.A. Tsyganov\*, V.N. Biktshev\*\*, and G.R. Ivanitsky\***

\**Institute of Theoretical and Experimental Biophysics, Pushchino, Moscow Region, 142290 Russia*

\*\**Department of Mathematical Sciences, University of Liverpool, Liverpool L69 7ZL, UK*

The results of numerical experiments with mathematical models of excitable systems with cross-diffusion are presented. It was shown that the refractoriness in such systems may be negative. The effects of negative refractoriness on the propagation and interaction of waves are demonstrated.

*Key words:* cross-diffusion, refractoriness, excitable media, autowaves, self-organization